

## English Summary:

### Oscillation - Uhlenbeck process

$$\dot{x} = -kx + \sqrt{2D} \xi(t) \quad \text{cond. fct. } G(t) = \langle x(t+\tau) x(t) \rangle = \frac{D}{k} e^{-k|\tau|}$$

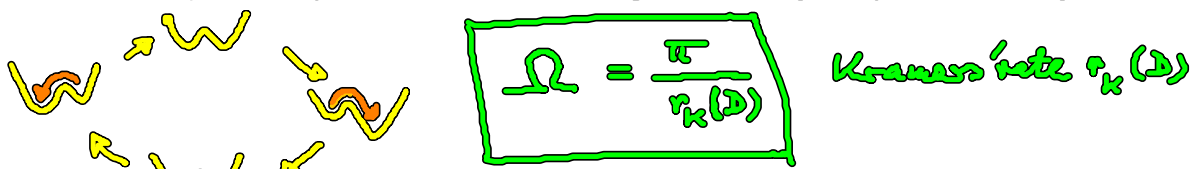
power spectral density  $S(\omega) = \frac{1}{2\pi} \int_{-\infty}^{\infty} d\tau e^{-i\omega\tau} G(\tau) = \frac{D}{\pi} \frac{1}{\omega^2 + k^2}$

direct sol. of Langevin eq.:  $x(t) = x(0)e^{-kt} + \sqrt{2D} \int_0^t e^{-k(t-t')} \xi(t') dt'$   
 $\langle x(t) x(t') \rangle \approx \frac{D}{k} e^{-k|t-t'|} \quad (t, t' \rightarrow \infty)$

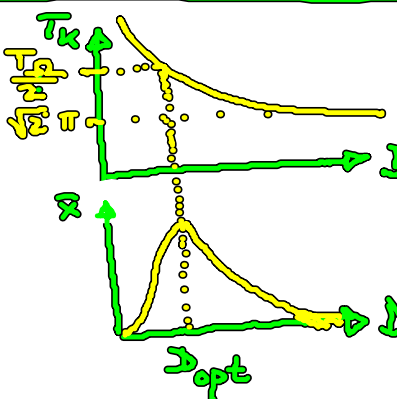
### 3. Noise-induced oscillations and patterns

#### 3.1 Stochastic resonance

$$\dot{x} = -V'(x) + A_0 \cos(\Omega t) + \sqrt{2D} \xi(t) \Rightarrow \langle x(t) \rangle = \bar{x} \cos(\Omega t - \bar{\phi})$$



#### Stochast. Resonanz



für kleine Amplituden:

$$\bar{x}(D) = \frac{A_0 \langle x^2 \rangle_0}{D} \frac{2r_K(D)}{\sqrt{4+r_K^2(D)} + \Omega^2}$$

$$\bar{\phi}(D) = \arctan \frac{\Omega}{2r_K} \text{ phase lag}$$

#### Spezifische Leistungsdichte

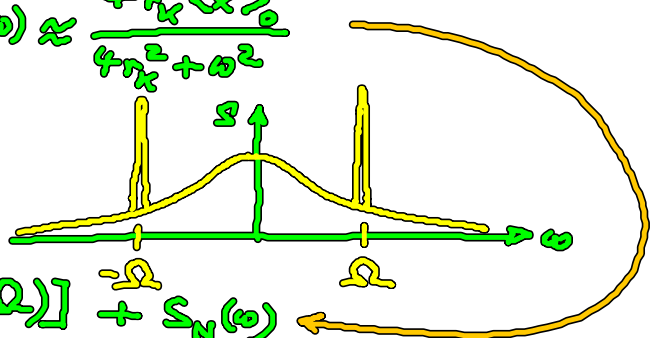
$$S(\omega) = \frac{1}{2\pi} \int_{-\infty}^{\infty} d\tau e^{-i\omega\tau} \langle x(t+\tau) x(t) \rangle \quad \text{zusätzlich über Anfangsphase gemittelt}$$

Untergrundrauschen  $S_N(\omega) \approx \frac{4r_K \langle x^2 \rangle_0}{4r_K^2 + \omega^2}$

überlagert durch S-peaks

Bei  $\omega = \pm \Omega$

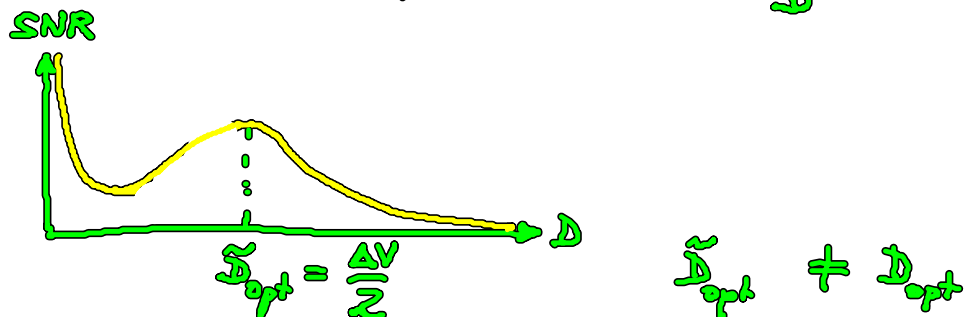
$$S(\omega) = \frac{I}{2} \bar{x}(0)^2 [\delta(\omega - \Omega) + \delta(\omega + \Omega)] + S_N(\omega)$$



Signal-to-noise ratio (Maß für Signalverstärkung):

$$SNR = \frac{2 \lim_{\Delta\omega \rightarrow 0} \int_{\Omega-\Delta\omega}^{\Omega+\Delta\omega} S(\omega) d\omega}{S_N(\Omega)} - \frac{\Delta V}{2}$$

$$\approx \pi \left( \frac{A_0 x_m}{D} \right)^2 r_K(D) \sim \frac{e}{D^2}$$



### 3.2 Rauschinduzierte Oszillationen

Jetzt: autonome Systeme, ohne externe periodische treibende Kraft

Annahme: determinist. System hat stabiles Fixpkt.

⇒ Rauschen kann Oszillationen induzieren  
(self-sustained oscillations, stoch. limit cycle)  
(LC)

Review: Lindner, García-Ojalvo, Neiman, Schimansky-Geier:  
Effects of noise in excitable systems, Phys. Rep. 392, 321 (2004)

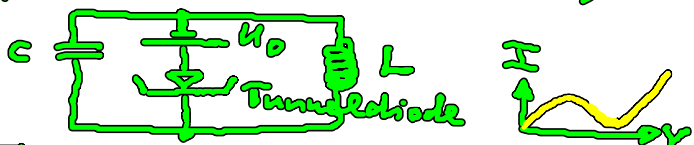
Zamora, Balanov, Schöll: Control of noise-induced dynamics.  
in: Handbook of Chaos Control (Wiley, 2008)

häufig unterhalb einer Br. eines abstr. Grenzzyklus

(Hopf-Bifurk., globale Bifurkation (SNIPER=saddle-node infinite period = SNIC))

## 1. Beispiel : Van der Pol - Osz. (1920 : niederl. el. Stromkreis)

- System knapp unterhalb einer Hopf-Bifurcation



$$\begin{aligned}\dot{x} &= y \\ \dot{y} &= (\varepsilon - x^2)y - \omega_0^2 x + \sqrt{D} \xi(t)\end{aligned}$$

$$\Rightarrow \ddot{x} - (\varepsilon - x^2)\dot{x} + \omega_0^2 x = \tilde{D} \xi(t) \quad \text{NB: Rauschintens. } \tilde{D} = \sqrt{2D}$$

niederl. Reibung

$$D=0 \text{ (deterr.) : Typ. } x^* = y^* = 0$$

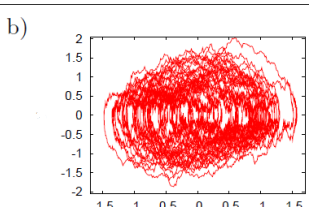
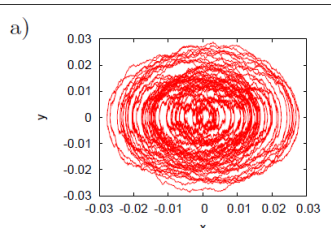
$$\text{Stab. des Typ. } \begin{pmatrix} \dot{x} \\ \dot{y} \end{pmatrix} = A \begin{pmatrix} x \\ y \end{pmatrix}, \quad A = \begin{pmatrix} 0 & 1 \\ -\omega_0^2 & \varepsilon \end{pmatrix}$$

$$\lambda^2 - \lambda \text{ tr} A + \det A = 0, \quad \text{tr} A = \varepsilon, \quad \det A = \omega_0^2 > 0$$

$$\Rightarrow \varepsilon = 0 \text{ Hopf-Bif. } (\lambda = \pm i\omega_0) \quad \left. \begin{array}{l} \varepsilon < 0 \text{ stabiler Fokus} \\ \varepsilon > 0 \text{ instab. Fokus + LC} \end{array} \right\} \lambda = \frac{\varepsilon}{2} \pm i\sqrt{\omega_0^2 - \left(\frac{\varepsilon}{2}\right)^2}$$

Wähle z.B.  $\varepsilon = -0.01$ ,  $\omega_0 = 1$

$\Rightarrow$  rauschinduz. Osz. ( $D \neq 0$ )



Pomplun, et al.  
Europhys. Lett.  
71, 366 (2005)

Fig. 1 – Simulated phase portraits of noise-induced oscillations of the Van der Pol system for  $\varepsilon = -0.01$ ,  $\omega_0 = 1$ ,  $\tau = 0$ ,  $K = 0$ : a)  $D = 0.003$ ; b)  $D = 0.5$ . Integration time: 300 time units.

## 2. Beispiel : Fitzhugh-Nagumo Modell (Bouleffé - Van - der - Pol)

- anregbares System (Typ II) : Schwellenverhalten (stabilier Typ)

Anwendung : Spiking von Neuronen

$$\begin{aligned}\varepsilon \dot{x} &= x - \frac{x^3}{3} - y \\ \dot{y} &= x + a + \tilde{D} \xi(t)\end{aligned}$$

Aktivator (schnell)

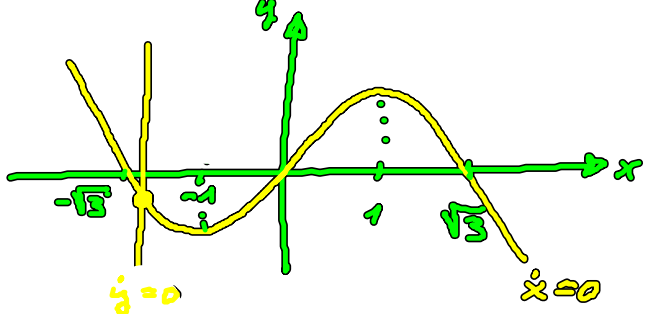
Inhibitor (langsam)

Erholungsverh.  $\varepsilon \ll 1$

Ausz. Schwell. a

$$D=0 : \text{Typ. } x = -a, \quad y = -a + \frac{a^3}{3}$$

$$\text{Stab. } \begin{pmatrix} \dot{x}_1 \\ \dot{x}_2 \end{pmatrix} = \frac{1}{\varepsilon} \begin{pmatrix} 1-\alpha^2 & -1 \\ \alpha & 0 \end{pmatrix}, \quad \begin{aligned} t \cdot A = 1 - \alpha^2 \\ \det A = \varepsilon > 0 \end{aligned}$$



$\alpha = 1$ : Hopf-Bif.  
 $\alpha < 1$ : instab. Fixp. + LC (oszillat. Regime)  
 $\alpha > 1$ : stab. Knoten (ausgebauter Pfeile)  
 (z.B.:  $\alpha = 1.1$ ,  $\varepsilon = 0.01$ )  
 slow-fast-System

$D \neq 0$ : noise-induced Osc.

Jauson, Balanov, Schöll: PRL 93, 010601 (2004)

Balanov, Jauson, Schöll: Physica D 199, 1 (2004)

Schöll, Balanov, Jauson, Neiman: Stoch. Dyn. 5, 231 (2005)

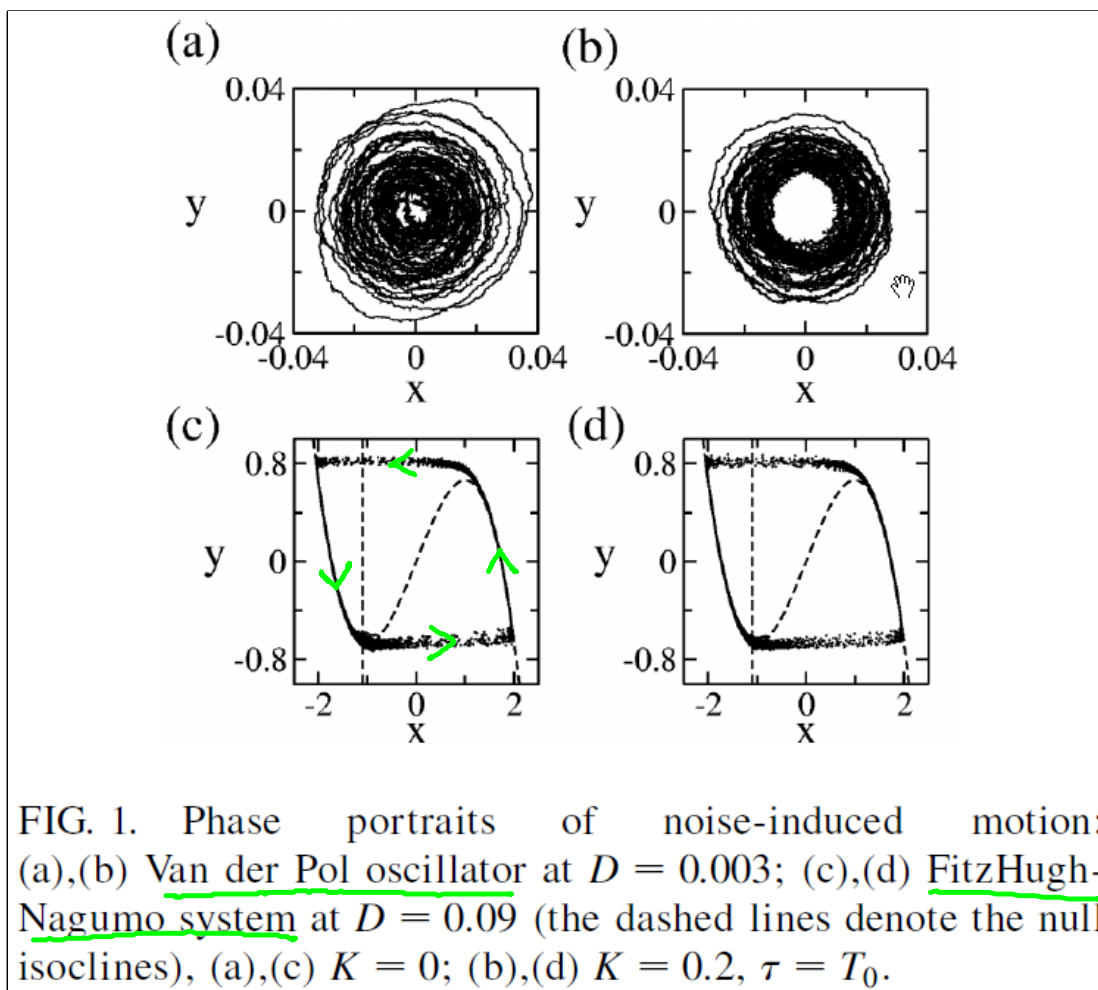


FIG. 1. Phase portraits of noise-induced motion:  
 (a),(b) Van der Pol oscillator at  $D = 0.003$ ; (c),(d) FitzHugh-Nagumo system at  $D = 0.09$  (the dashed lines denote the null isoclines), (a),(c)  $K = 0$ ; (b),(d)  $K = 0.2$ ,  $\tau = T_0$ .

### 3.3 Kohärenzzone

Gang, Ditlinger, Ning, Haken: Stoch. Non. without external periodic forcing, PRL 71, 807 (1993)

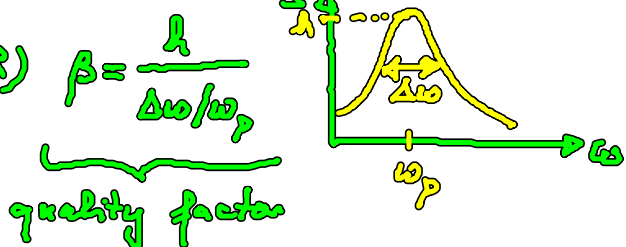
Pikovsky, Kurths: Coherence resonance in a noise-driven excitable system, PRL 78, 775 (1997),

Neiman, Saganin, Stone: PRE 56, 230 (1997)

— konstruktiver Einfluss von Rauschen

- Regularität („Kohärenz“) der rauschinduz. Osc. am größten für endl.-Rauschintensität  $D_{\text{opt}}$
- Maß für Regularität:

— Signal-Rausch-Verhältnis (SNR) (Haken)



— Standardabweich. der ISI

(interspike interval)  $\int_{t_0}^{T_{\text{isi}}} dt$

$$R_T = \frac{\sqrt{\langle T_{\text{isi}}^2 \rangle - \langle T_{\text{isi}} \rangle^2}}{\langle T_{\text{isi}} \rangle} \quad (\text{normierte ISI-Funkt.})$$

— Korrelationszeit  $\tau_{\text{cor}} := \frac{1}{\Phi(0)} \int_0^\infty |\Phi(s)| ds$

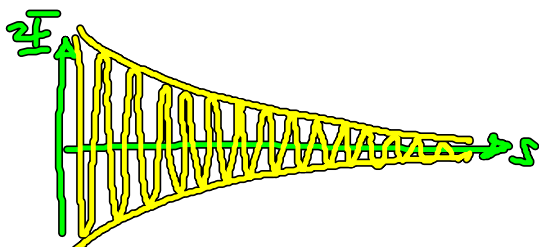
(Autokorrel. fkt.  $\Phi(s) := \langle [x(t+s) - \langle x \rangle][x(t) - \langle x \rangle] \rangle$ )

Varianz  $\Phi(0) = \sigma^2$

Motivation der Def.:

für lin. stoch. Prozesse  $\dot{x} = -(k+i\omega_0)x + \xi(t)$ :

$$\Phi(s) = \Phi(0) e^{-ks} \cos(\omega_0 s) \quad (\text{§23. stat. Mechanik - Vll.})$$



exp. abklingende Enveloppe

Trägerfreqs.  $\omega_0$

$k > 0$  (stabilisator.)

Zusammenhang zwischen  $t_{\text{cor}}$  und  $k$ :

$$t_{\text{cor}} = \int_0^{\infty} e^{-ks} |\cos \omega_s| ds$$

$$\text{Approx. } \frac{1}{\pi} \int_{-\pi/2}^{\pi/2} \cos \phi d\phi = \frac{2}{\pi} \quad \text{für } k \ll \omega_0 \quad (\text{Füllfaktor})$$

$$\Rightarrow t_{\text{cor}} \approx \frac{2}{\pi} \int_0^{\infty} e^{-ks} ds = \frac{2}{\pi k}$$

$$\text{also } \tilde{f}(s) = f(b) e^{-\frac{s}{T} \frac{2}{\pi k_{\text{cor}}}} \cos(\omega s)$$

$k = |\operatorname{Re}(\text{Eigenwert des Fixp.})| = \text{Bifurk.par.}$

$$\operatorname{Re} \lambda < 0$$

(Abstand von Hopf-Bif.)

$\rightarrow$  für stabiles oder Fixp., muss  $k$  vor die Kond. Zeit  
(je weiter weg von der Hopf-Bif.)